

AVENTICS CCI 系列紧凑型气缸 (ISO 21287)

安沃驰 CCI 系列 (ISO 21287) 气缸是创新性紧凑结构和易于清洗设计的典范。CCI 系列 (ISO 21287) 非常适合长冲程以及要求更高的优化周期和移动质量问题。该传感器可轻松快速地在各个侧面以及沿着气缸全长安装。



技术数据

| | |
|-------------|-------------------|
| 行业 | 工业 |
| 标准 | ISO 21287 |
| 活塞- Ø | 32 mm |
| 行程 | 5 mm |
| 接口 | G 1/8 |
| 实用原则 | 双作用式 |
| 缓冲 | elastické tlumení |
| 磁性销钉 | Píst s magnetem |
| 环境要求 | 工业标准 ATEX 中可选 |
| 活塞连杆螺纹 - 类型 | 内螺纹 |
| 活塞杆螺纹 | M8 |
| 活塞杆 | 单的 |
| 防尘圈 | 标准工业防尘刮环 |
| 确定活塞推力的压力 | 6,3 bar |
| 缩回运动的活塞力 | 435 N |
| 伸出运动的活塞力 | 507 N |
| 最低环境温度 | -20 °C |
| 最高环境温度 | 80 °C |
| 最小运行压力 | 1 bar |
| 最大运行压力 | 10 bar |
| 冲撞能量 | 0.5 J |
| 重量 0 mm行程 | 0.233 kg |
| 重量 +10 mm行程 | 0.042 kg |

| | |
|----------------|---------------------|
| 最大行程 | 300 mm |
| 介质 | 压缩空气 |
| 介质温度最小值 | -20 °C |
| 介质温度最大值 | 80 °C |
| 颗粒大小 max. | 50 µm |
| 压缩空气中的含油量 最小., | 0 mg/m ³ |
| 压缩空气中的含油量 最大 | 5 mg/m ³ |

材料

| | |
|-------|------------|
| 活塞杆 | 不锈钢 |
| 防尘圈材料 | 聚氨酯 |
| 密封件材料 | 聚氨酯 |
| 前盖板材料 | 铝材 |
| 气缸管子 | 铝材 |
| 后盖 | 铝材 |
| 物料号 | R422001005 |

技术信息

通过 ATEX 认证的气缸 (带标记 II 2G Ex h IIC T4 Gb / II 2D Ex h IIIC T135°C Db_X) 可以在网络配置器中生成。

ATEX 认证气缸的使用温度范围为 -20°C ... 60°C.

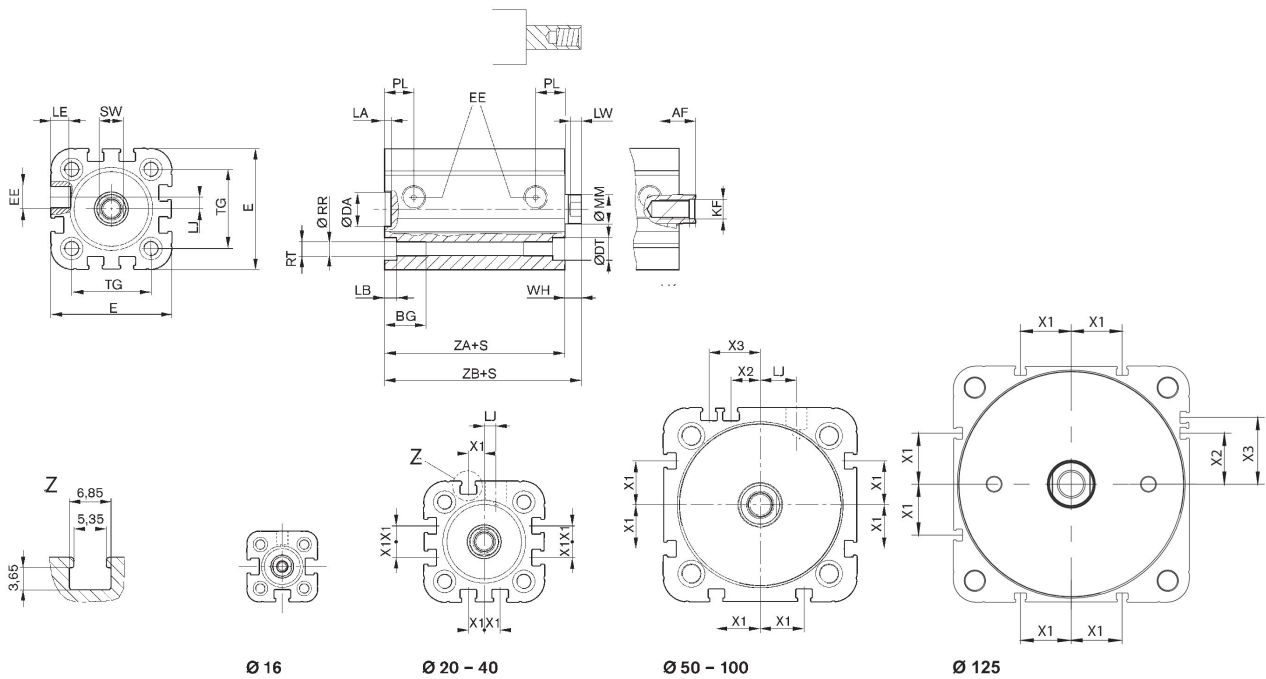
如果气缸带加长活塞杆，则尺寸“WH”和“ZB”会相应地增加至指定的长度。

压力露点必须至少低于环境和介质温度 15 °C ，并且允许的最高温度为 3 °C 。

压缩空气的油含量必须在整个使用寿命中保持不变。

只可使用经过 AVENTICS 公司许可的油。详细信息请参见文档“技术信息” (<https://www.emerson.com/en-us/support> 中获取) 。

规格

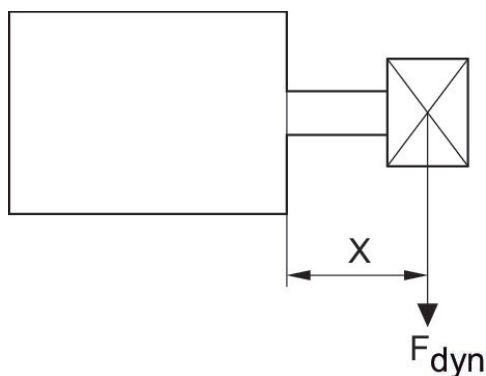


| 活塞- Ø | AF | BG | DA H11 | DT | E | EE | KF | LA | LB |
|-------|----|------|--------|-----|-------|-------|-----|-----|-----|
| 16 | 10 | 15 | 10 | 6 | 29.3 | M5 | M4 | 2.5 | 3.5 |
| 20 | 12 | 15.5 | 12 | 7.5 | 36.3 | M5 | M6 | 2.5 | 4.5 |
| 25 | 12 | 15.5 | 12 | 8 | 40.3 | M5 | M6 | 2.5 | 4.5 |
| 32 | 12 | 17 | 14 | 8.6 | 50 | G 1/8 | M8 | 2.5 | 5 |
| 40 | 12 | 17 | 14 | 9.2 | 58 | G 1/8 | M8 | 2.5 | 5 |
| 50 | 16 | 17 | 18 | 11 | 68.3 | G 1/8 | M10 | 2.5 | 5 |
| 63 | 16 | 17 | 18 | 11 | 80 | G 1/8 | M10 | 2.5 | 5 |
| 80 | 20 | 20 | 23 | 15 | 96 | G 1/8 | M12 | 3 | 5 |
| 100 | 20 | 20 | 28 | 15 | 116 | G 1/8 | M12 | 3 | 5 |
| 125 | 25 | 35 | 12 | - | 134.6 | G 1/4 | M16 | 2.6 | - |

| 活塞- Ø | LE | LJ | LW | MM f8 | PL | RR | RT 6H | SW | TG |
|-------|-----|------|-----|-------|------|------|-------|----|------|
| 16 | 4.5 | 0 | 4 | 8 | 8 | 3.3 | M4 | 7 | 18 |
| 20 | 4.5 | 4.5 | 4 | 10 | 10 | 4.2 | M5 | 8 | 22 |
| 25 | 4.5 | 4 | 4 | 10 | 10 | 4.2 | M5 | 8 | 26 |
| 32 | 7.5 | 4.85 | 4.5 | 12 | 12 | 5.1 | M6 | 10 | 32.5 |
| 40 | 7.5 | 9.85 | 4.5 | 12 | 12 | 5.1 | M6 | 10 | 38 |
| 50 | 7.5 | 12 | 6 | 16 | 12 | 6.7 | M8 | 13 | 46.5 |
| 63 | 7.5 | 14.8 | 6 | 16 | 12 | 6.7 | M8 | 13 | 56.5 |
| 80 | 7.5 | 22 | 7 | 20 | 14 | 8.5 | M10 | 16 | 72 |
| 100 | 7.5 | 27 | 7 | 25 | 16.5 | 8.5 | M10 | 21 | 89 |
| 125 | ??? | 39 | 7.5 | 25 | 20.5 | 11.1 | M12 | 21 | 110 |

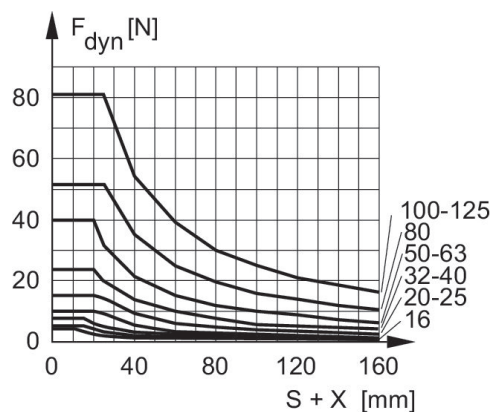
| 活塞-Ø | WH | X1 | X2 | X3 | ZA ±0,1 | ZB |
|------|----------|-----|------|------|---------|-----------|
| 16 | 4,8 ±0,9 | - | - | - | 34.9 | 39,7 ±0,8 |
| 20 | 5,6 ±0,9 | 4.2 | - | - | 37.3 | 43,6 ±0,8 |
| 25 | 5,6 ±0,9 | 4.5 | - | - | 39 | 44,5 ±0,9 |
| 32 | 7,4 ±0,9 | 6.5 | - | - | 44 | 51,4 ±1 |
| 40 | 7,4 ±0,9 | 11 | - | - | 45 | 52,4 ±1 |
| 50 | 8,4 ±0,9 | 13 | 4 | 13 | 45.5 | 53,6 ±1 |
| 63 | 8,5 ±0,9 | 18 | 12 | 21 | 49 | 57,4 ±1 |
| 80 | 9,8 ±1 | 18 | 16.5 | 25.5 | 54.7 | 64,4 ±1 |
| 100 | 9,8 ±1 | 20 | 20 | 29 | 67 | 76,7 ±1 |
| 125 | 11 | 29 | 29 | 38 | 81 | 92 |

最大允许侧面力 动态



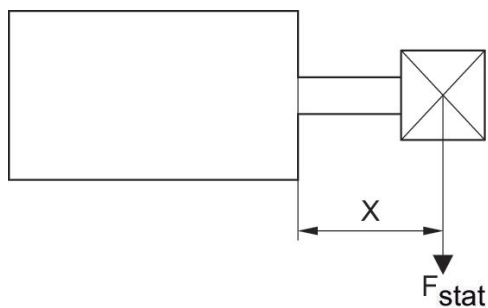
F dyn. = 动态侧面力
X = 作用力与汽缸盖之间的距离
S = 行程

最大允许侧面力 动态



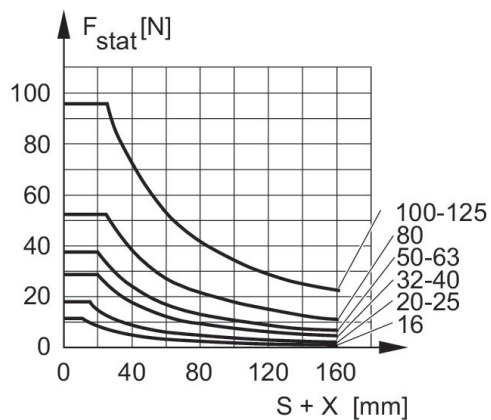
F dyn. = 动态侧面力
X = 作用力与汽缸盖之间的距离
S = 行程

最大允许侧面力 静态



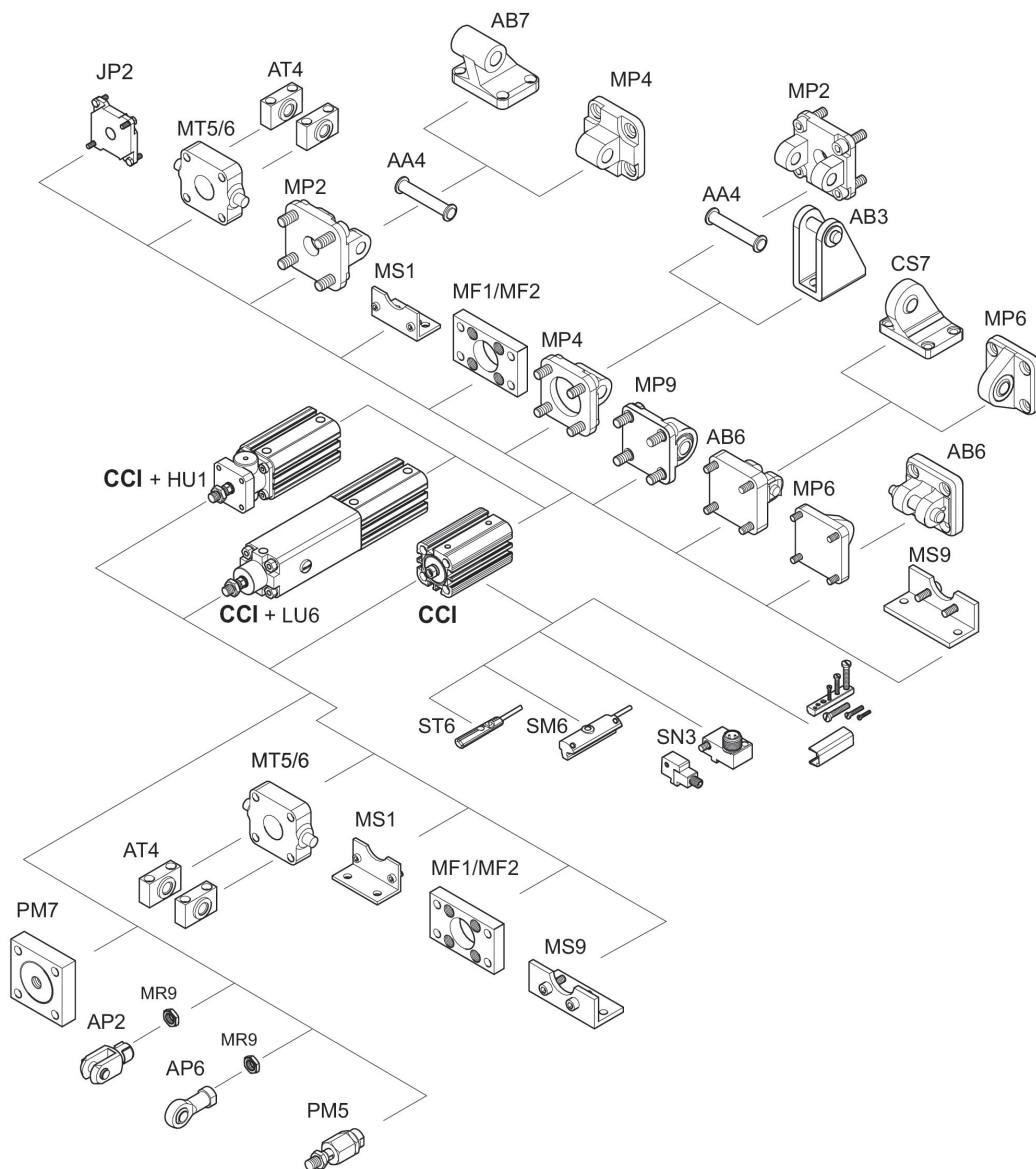
F_{stat} = 静态侧面力
 X = 作用力与汽缸盖之间的距离

最大允许侧面力 静态



F_{stat} = 静态侧面力
 X = 作用力与汽缸盖之间的距离
 S = 行程

总览图



提示：这一总览图用于确定各种附件固定在气缸上的位置。图纸可简化描述。因此，不允许在标准情况下设置直接的排出管道。